

CP非保存角 ϕ_3 の測定に向けた $B \rightarrow DK, D \rightarrow K_S K \pi$ 崩壊の研究

2011年5月14日
春の学校@彦根
東北大学
鈴木 善明

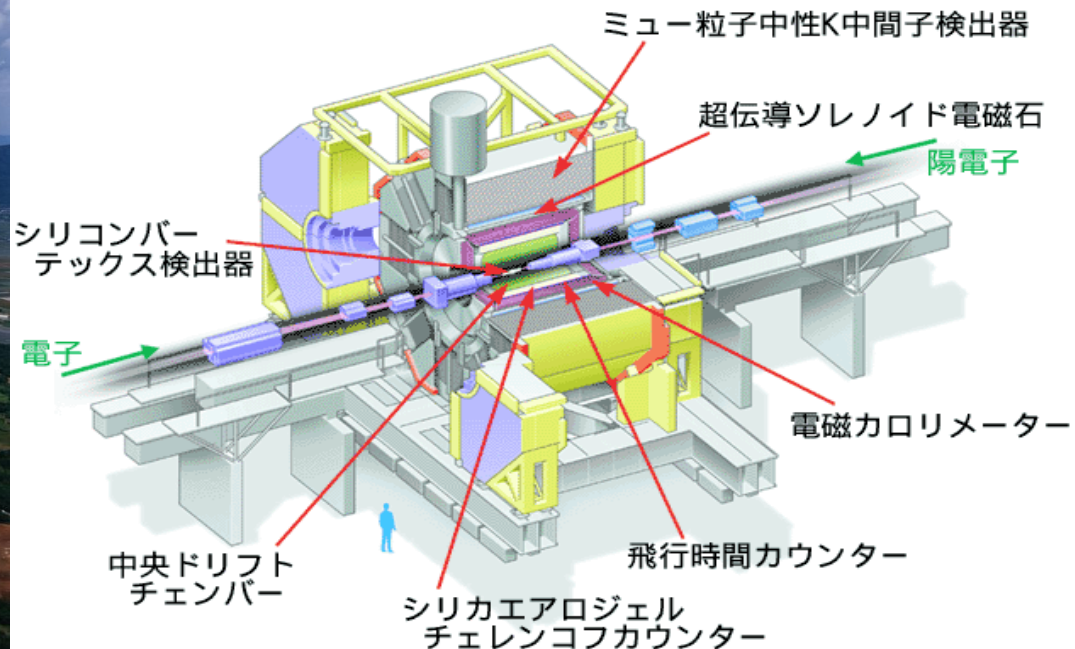
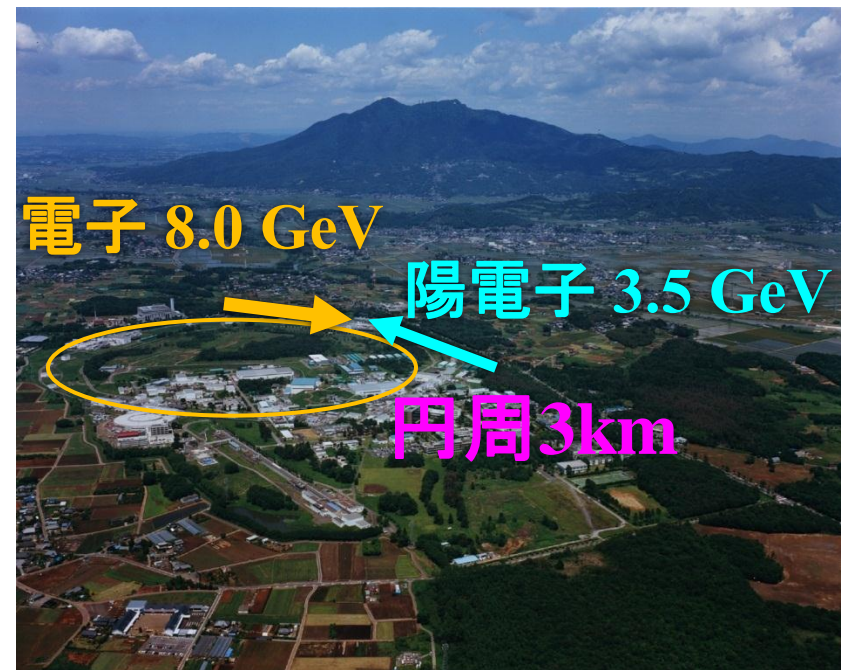
Contents

- イン트로ダクション
 - Belle実験
 - ϕ_3 の測定
- $B \rightarrow DK, D \rightarrow K_s K \pi$ 崩壊の研究
 - KSFW Likelihood ratio
 - コントロールサンプル($B \rightarrow D \pi, D \rightarrow K_s K \pi$)の研究
 - 期待される $B \rightarrow DK$ イベントの数
 - ダリッツ解析の必要性
- まとめ

- イントロダクション
 - Belle実験
 - ϕ_3 の測定

イントロダクション

Belle実験



- 積分ルミノシティ: 10^{14} fb^{-1} (Y(4S): 711 fb^{-1})
- BelleIIへのアップグレードのため2010年6月に運転停止。

CKM行列

- Charged current weak interaction Lagrangian

$$\mathcal{L}_{\text{int,qW}} = -\frac{g}{\sqrt{2}} \left[(\bar{U}_L \gamma^\mu \mathbf{V} D_L) W_\mu^+ + (\bar{D}_L \gamma^\mu \mathbf{V}^\dagger U_L) W_\mu^- \right]$$

$$U = \begin{pmatrix} u \\ c \\ t \end{pmatrix}, \quad D = \begin{pmatrix} d \\ s \\ b \end{pmatrix} \quad \text{質量固有状態}$$

CKM行列 $V = \begin{pmatrix} V_{ud} & V_{us} & V_{ub} \\ V_{cd} & V_{cs} & V_{cb} \\ V_{td} & V_{ts} & V_{tb} \end{pmatrix}$

大きな複素位相を持つ

$$= \begin{pmatrix} 1 - \frac{\lambda^2}{2} & \lambda & A\lambda^3(\rho - i\eta) \\ -\lambda & 1 - \frac{\lambda^2}{2} & A\lambda^2 \\ A\lambda^3(1 - \rho - i\eta) & -A\lambda^2 & 1 \end{pmatrix} + \mathcal{O}(\lambda^4)$$

$$\lambda = \sin \theta_c \sim 0.22$$

ユニタリー三角形

CKM行列はユニタリー行列であるから、

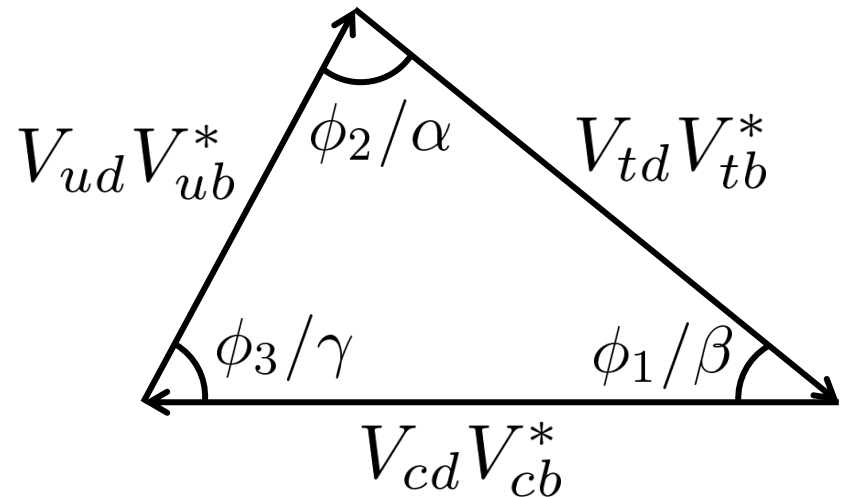
$$VV^\dagger = 1$$

➡ $V_{ud}V_{ub}^* + V_{cd}V_{cb}^* + V_{td}V_{tb}^* = 0$

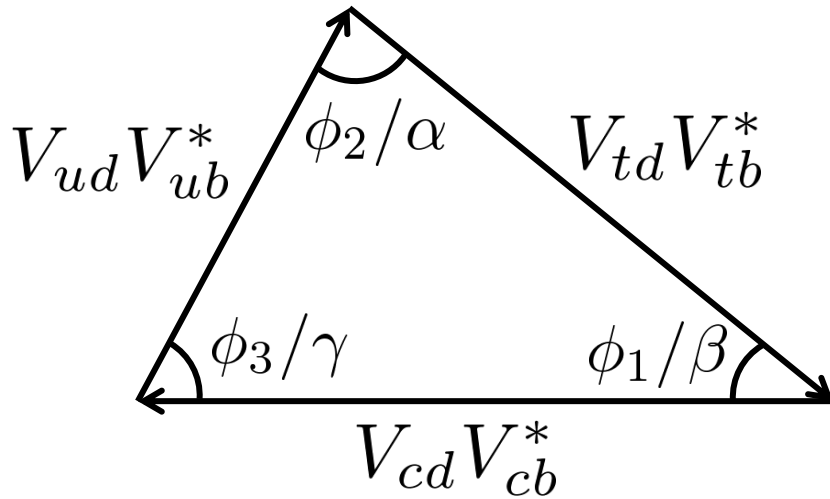
- 大きな複素位相を押し込んだ要素を含む
- 各項の大きさ(辺の長さ)が同程度



潰れていない三角形を描くことができる。
(角度測定がしやすい)



CP非保存角 ϕ_3



$$\phi_1 = 21.15^\circ \begin{matrix} +0.90^\circ \\ -0.88^\circ \end{matrix}$$

$$\phi_2 = 89.0^\circ \begin{matrix} +4.4^\circ \\ -4.2^\circ \end{matrix}$$

$$\phi_3 = 71^\circ \begin{matrix} +21^\circ \\ -25^\circ \end{matrix}$$

(CKMfitter, 2010)

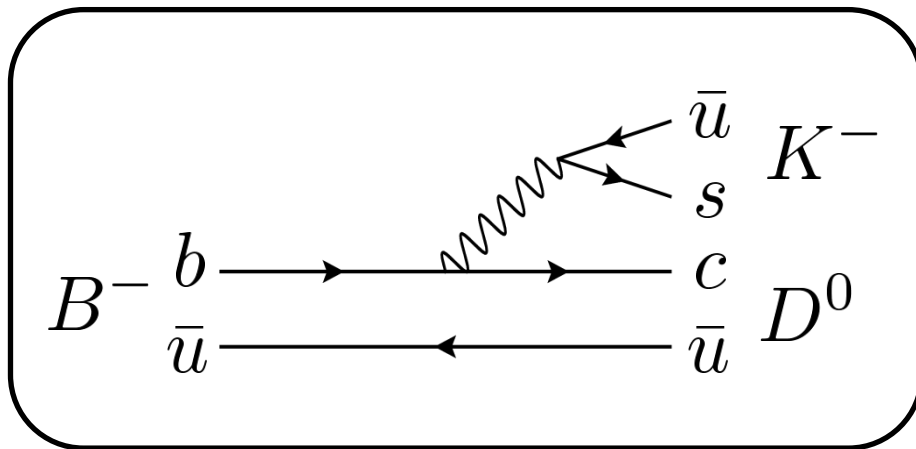
$$\phi_3 \equiv \arg \left(\frac{V_{ud}V_{ub}^*}{-V_{cd}V_{cb}^*} \right) \\ \sim \arg(\underline{V_{ub}})$$

**$b \rightarrow u$ 遷移を含む崩壊
($B \rightarrow DK$)で測定が可能。**

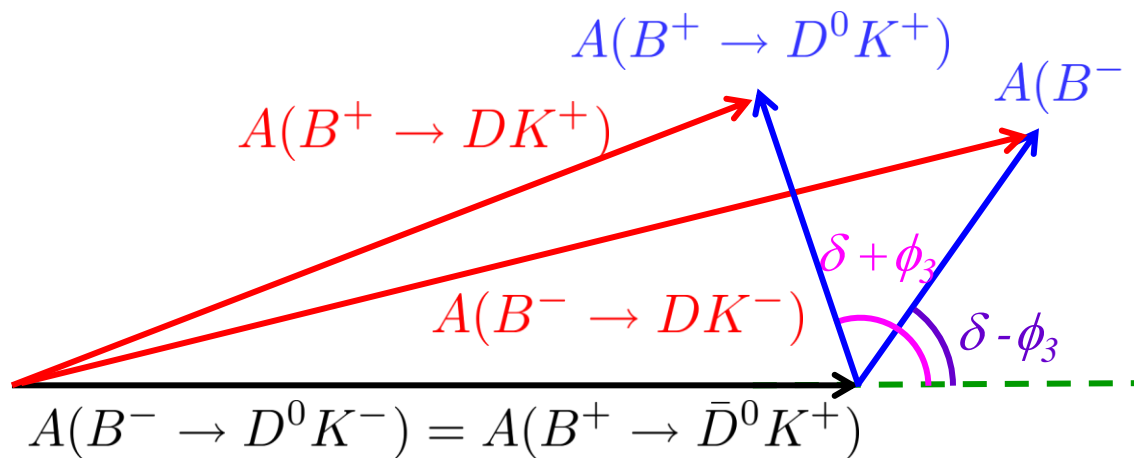
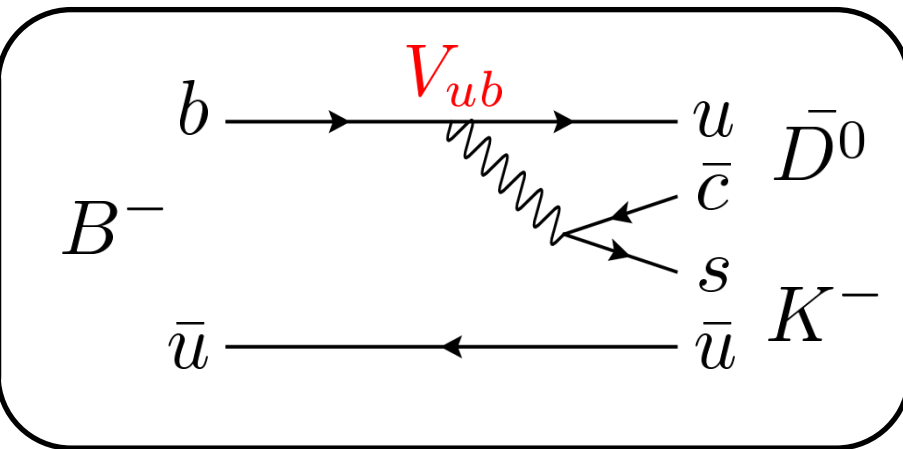
- $B \rightarrow DK$ の崩壊を用いれば tree diagramのみの寄与で測定できる。
- 精度の向上が課題。

B → DK崩壊

$$B^- \rightarrow D^0 K^-$$



$$B^- \rightarrow \bar{D}^0 K^-$$



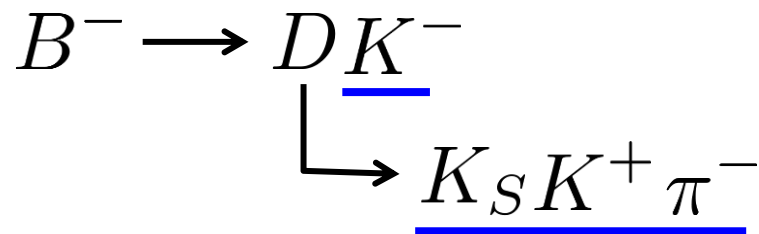
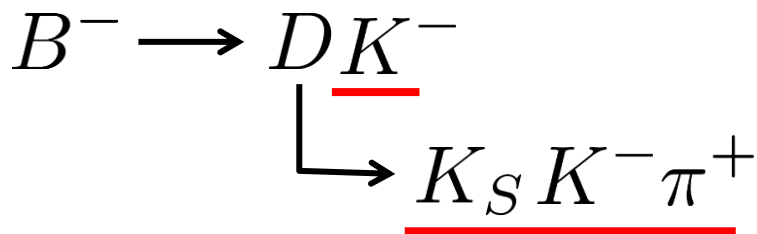
$D : D^0 \text{ or } \bar{D}^0$
 D^0 と \bar{D}^0 は同じ終状態に崩壊しうる。

δ : 強い相互作用に起因する位相差

B⁻とB⁺の崩壊分岐比を測定することで δ, ϕ_3 が求まる。

\overline{D}^0 の崩壊

- 現在最も精度の良い ϕ_3 の測定は $B \rightarrow DK$, $D \rightarrow K_S \pi^+ \pi^-$ のダリッツ解析によるものである。
- 同様に、 $B \rightarrow DK$, $D \rightarrow K_S K^\pm \pi^\mp$ も ϕ_3 に対して高感度であると期待される。
- $D \rightarrow K_S \pi^+ \pi^-$ と異なり、 K と π の電荷を入れ替えると異なる終状態になる。そのため、異なる崩壊として解析しなければならない。



$D : D^0 \text{ or } \overline{D}^0$

この二つは異なる終状態である。

- $B \rightarrow DK, D \rightarrow K_s K \pi$ 崩壊の研究
 - KSFW Likelihood ratio
 - コントロールサンプル($B \rightarrow D \pi, D \rightarrow K_s K \pi$)の研究
 - 期待される $B \rightarrow DK$ イベントの数
 - ダリッツ解析の必要性

$B \rightarrow DK, D \rightarrow K_s K \pi$ 崩壊の研究

Selection criteria

Impact parameter	$ dr < 5\text{mm}$, $ dz < 5\text{cm}$
M_{bc}	$5.27 < M_{bc} < 5.29 \text{ GeV}/c^2$
PID	for all charged K : $\text{PID}(\text{K}) > 0.6$ for all charged π : $\text{PID}(\pi) < 0.4$
Mass	$ M(\pi^+\pi^-) - M(K_S) < 0.0125 \text{ GeV}/c^2$ $ M(K^*K) - M(D^0) < 0.0159 \text{ GeV}/c^2$
Best candidate selection	Use the best M_{bc}

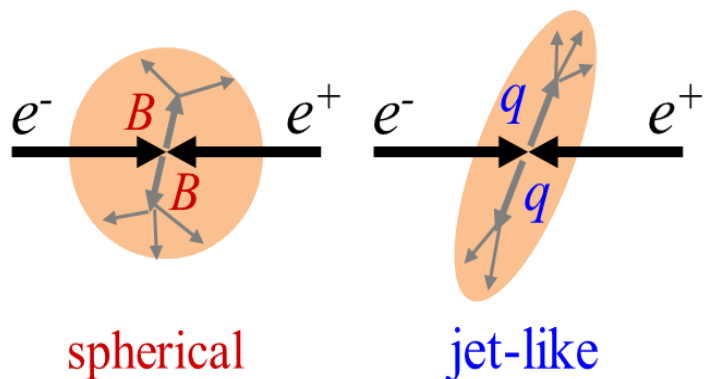
Y(4S)の全データ(711 fb⁻¹)を使用。

Likelihood Ratio (KSFW)

信号事象の数は2次元フィット (KSFW Likelihood vs ΔE)によって求められる。

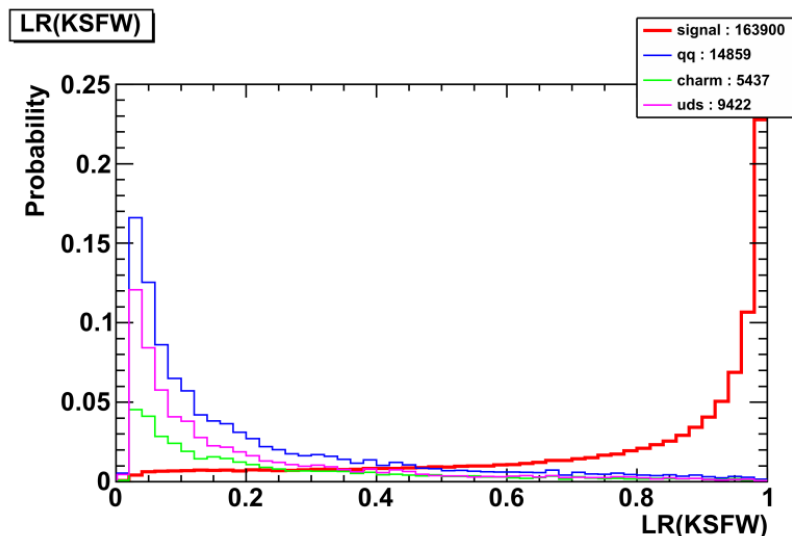
KSFW:

運動量方向などからイベントの形状を数値化する手法。



シグナル(Bを経由)は球状に、
 $q\bar{q}$ イベントはジェット状に分布

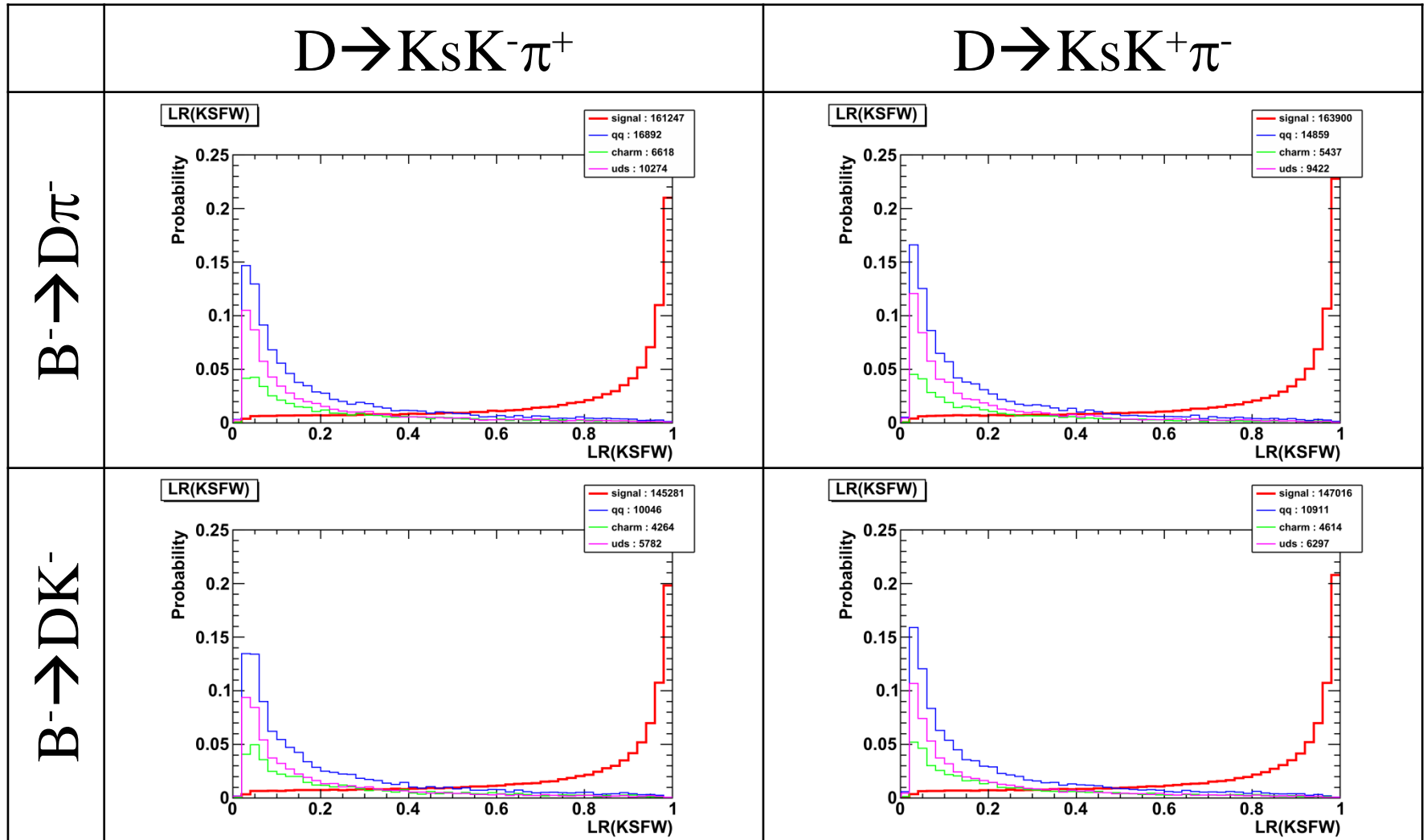
Example of KSFW likelihood ratio



Red : signal

Blue : $q\bar{q}$ (charm + uds)

KSFW Likelihood (MC)



Red : signal Blue : qq (charm + uds)

シグナルと $q\bar{q}$ バックグラウンドはよく分離できている。

フィットに用いるPDF

For ΔE

for signal	Double gaussian
for $B\bar{B}$ background	Exponential
for $q\bar{q}$ background	1 st chebyshev

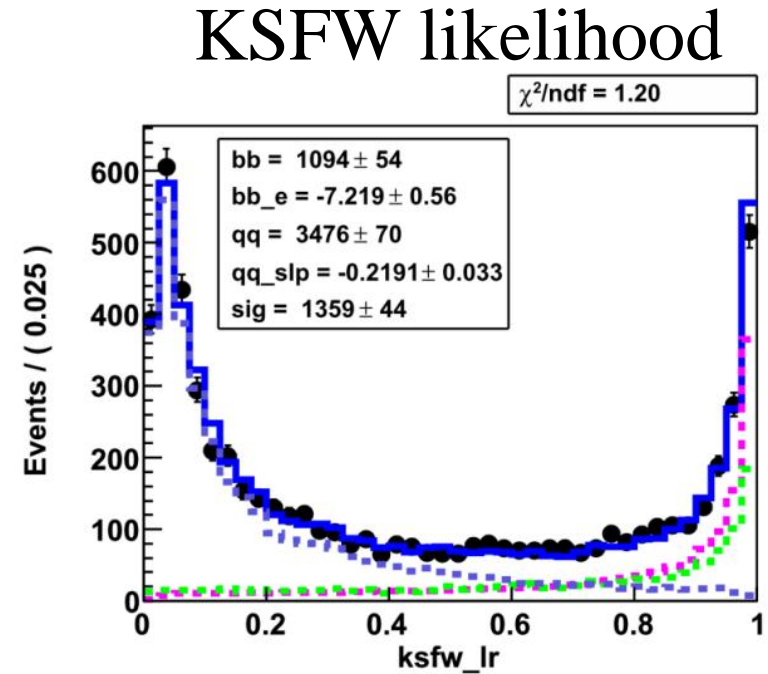
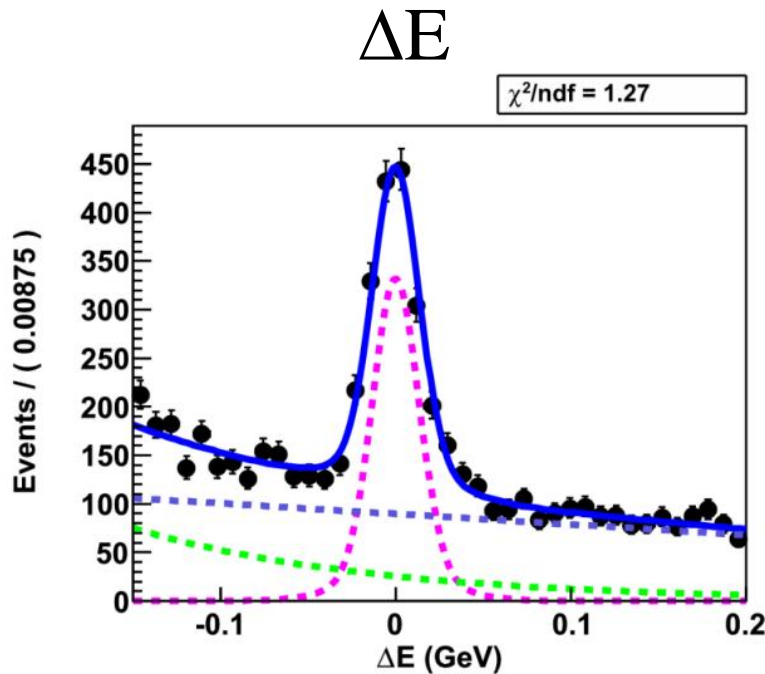
For KSFV likelihood

Histogram PDF

for signal	Obtained from signal MC
for $B\bar{B}$ background	Obtained from $B\bar{B}$ MC
for $q\bar{q}$ background	Obtained from $q\bar{q}$ MC

Control sample : $B^- \rightarrow D\pi^-$, $D \rightarrow K_s K^- \pi^+$

Projection for each axis

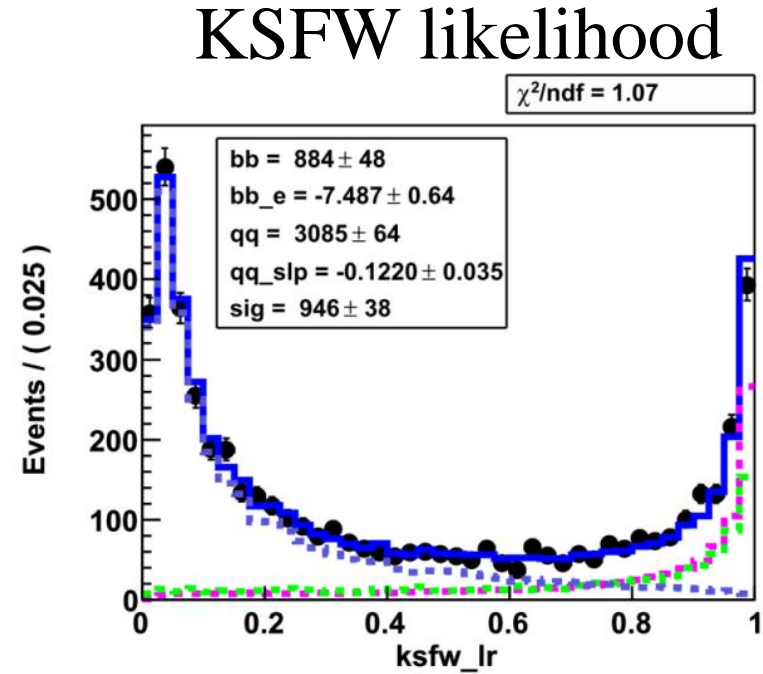
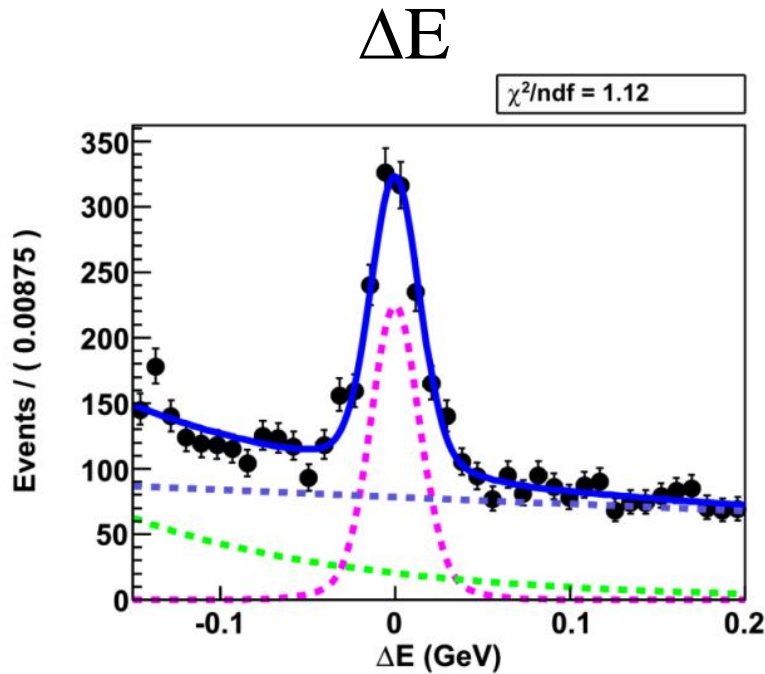


Blue solid : total pdf, Magenta dashed : signal
Blue dashed : $q\bar{q}$ BG, Green dashed : $B\bar{B}$ BG

Signal events : $1359 \pm 44(\text{stat})$

Control sample : $B^- \rightarrow D\pi^-$, $D \rightarrow K_s K^+ \pi^-$

Projection for each axis



Blue solid : total pdf, Magenta dashed : signal
Blue dashed : $q\bar{q}$ BG, Green dashed : $B\bar{B}$ BG

Signal events : $946 \pm 38(\text{stat})$

期待される $B \rightarrow DK$ イベントの数

$B^- \rightarrow D\pi^-, D \rightarrow K_s K^- \pi^+ : 1,359 \pm 44(\text{stat}) \text{ events}$

$B^- \rightarrow D\pi^-, D \rightarrow K_s K^+ \pi^- : 946 \pm 38(\text{stat}) \text{ events}$

$B \rightarrow DK, D \rightarrow K\pi$ の解析によると、

(Y. Horii, K. Trabelsi, H. Yamamoto et al., PRD 78, 071901(R) (2008))

$$\frac{\text{Br}(B^- \rightarrow DK^-)}{\text{Br}(B^- \rightarrow D\pi^-)} = [6.77 \pm 0.23(\text{stat}) \pm 0.30(\text{syst})] \times 10^{-2}$$

期待される $B \rightarrow DK, D \rightarrow K_s K\pi$ イベントの数は、

$B^- \rightarrow DK^-, D \rightarrow K_s K^- \pi^+ : 92 \pm 6 \text{ events}$

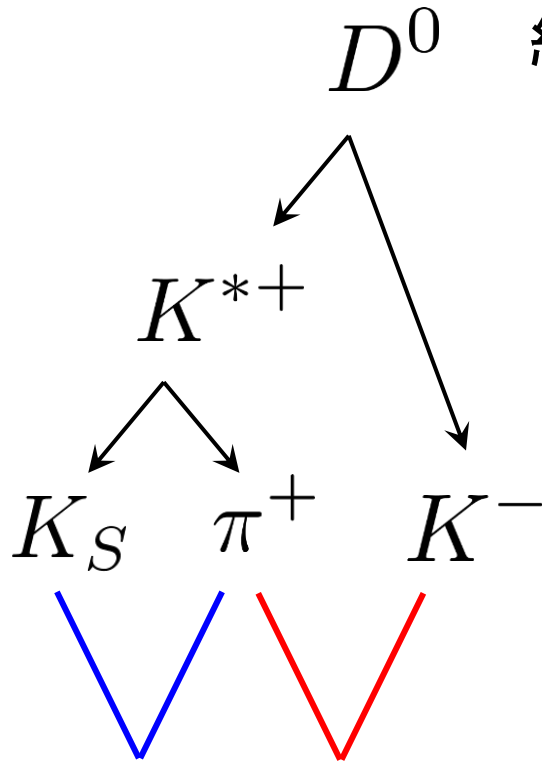
$B^- \rightarrow DK^-, D \rightarrow K_s K^+ \pi^- : 64 \pm 4 \text{ events}$

Dalitz Plot

同じ終状態でも異なる共鳴状態を
経由してきている可能性がある。

$$D^0 \rightarrow ?? \rightarrow K_S K \pi$$

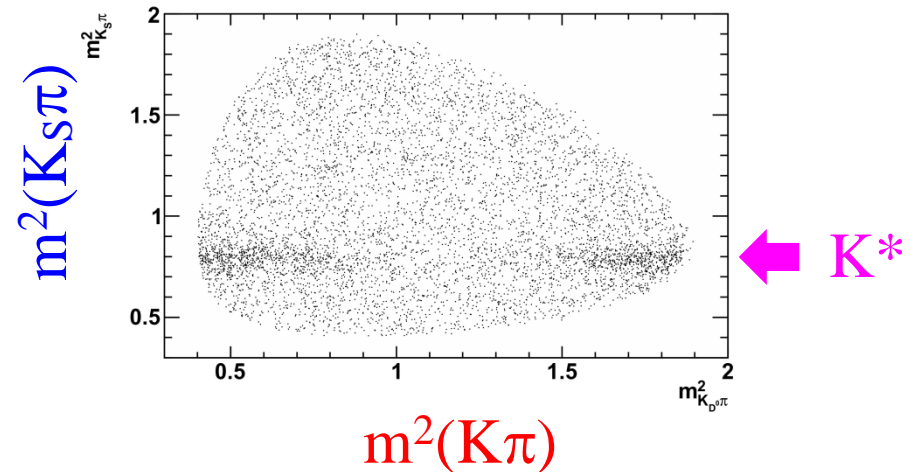
(e.g. $D \rightarrow K^* K$, $K^{*0} K^0$, $a_0 \pi$, ...etc.)



実際に組み合わせて
massを出してみる。



$D^0 \rightarrow K_S K \pi$ の Dalitz Plot (MC)



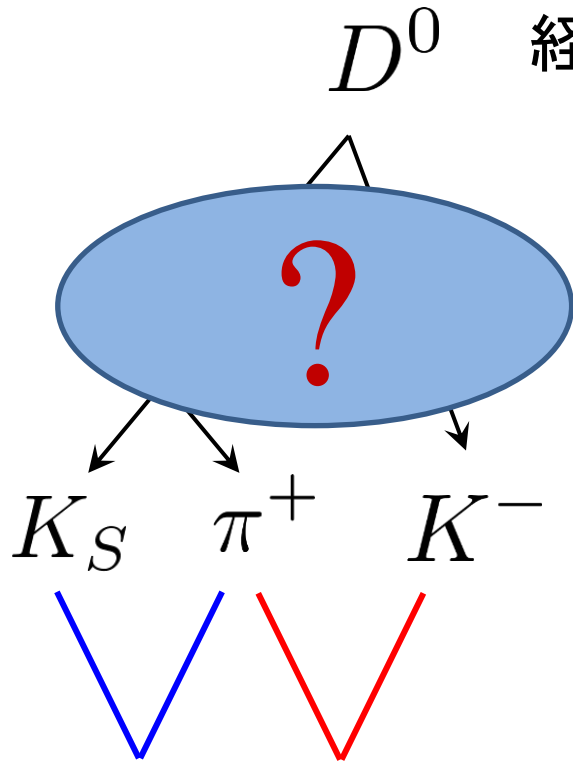
nonresonant modeは
一様に分布する

Dalitz Plot

同じ終状態でも異なる共鳴状態を
経由してきている可能性がある。

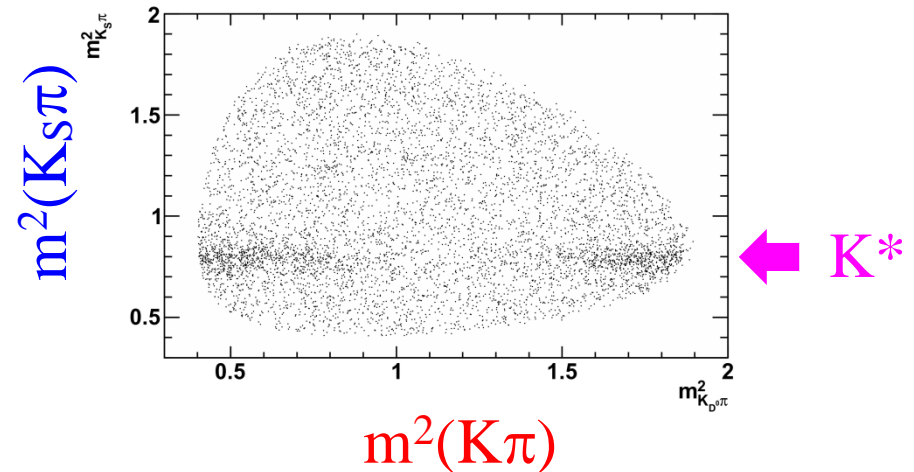
$$D^0 \rightarrow ?? \rightarrow K_S K \pi$$

(e.g. $D \rightarrow K^* K$, $K^{*0} K^0$, $a_0 \pi$, ...etc.)



実際に組み合わせて
massを出してみる。

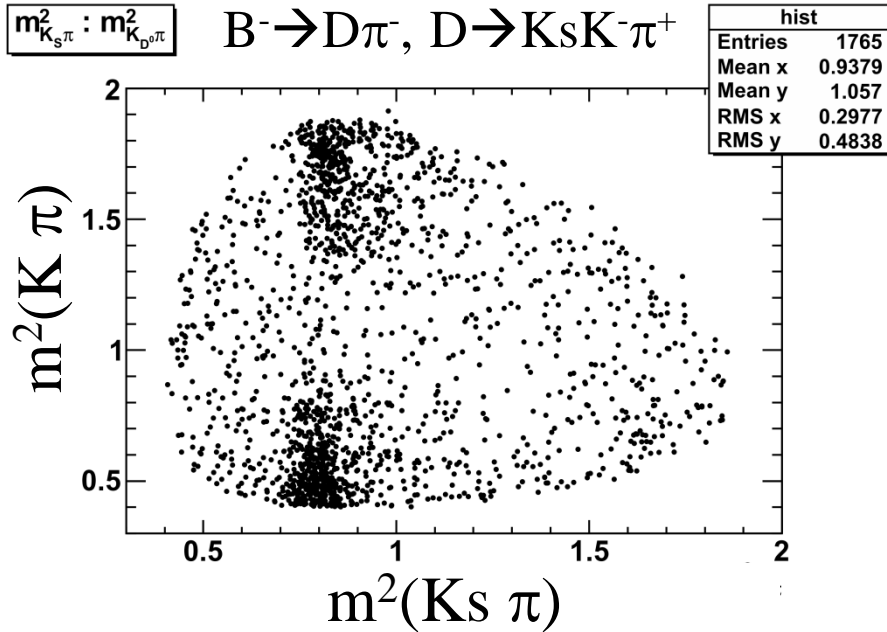
$D^0 \rightarrow K_S K \pi$ の Dalitz Plot (MC)



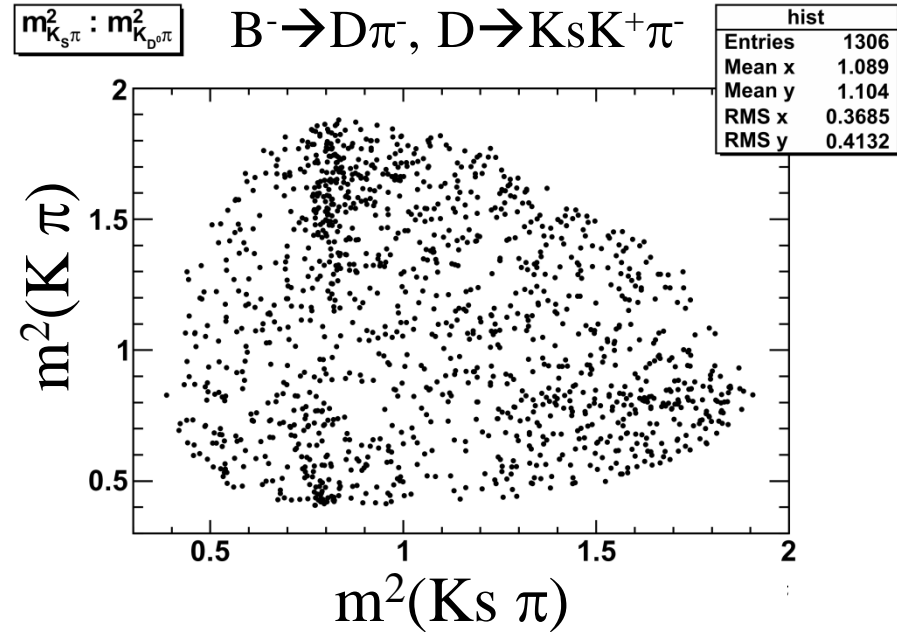
nonresonant modeは
一様に分布する

Dalitz Plot

Dalitz plot (real data) with $|\Delta E| > 0.04$ GeV & LR(KSFW) > 0.2



K*Kのイベントが支配的



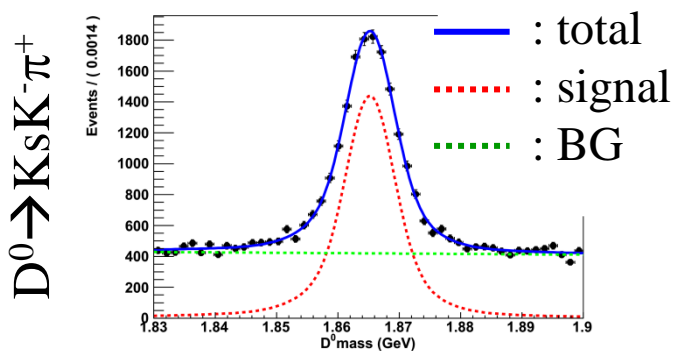
より複雑な構造が見て取れる
(K*K, K*⁰K⁰, non-resonant, etc.)

これらのダリッツプロットをフィットし、それぞれの共鳴状態の振幅などの情報を得る必要がある。

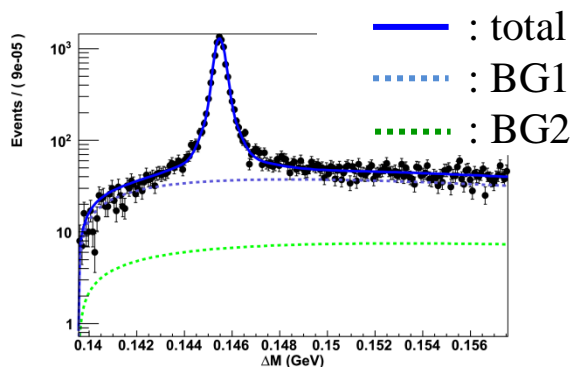
Tagged D events

フィットに用いる $D \rightarrow K_S K \pi$ のダリッツ平面のモデルはtagged D (from $D^{*+} \rightarrow D^0 \pi^+$, $D^{*-} \rightarrow \bar{D}^0 \pi^-$)を用いて作られる。

D^0 mass



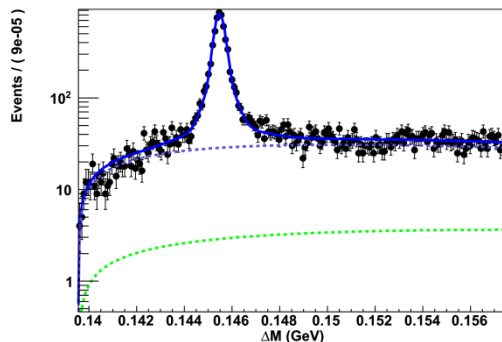
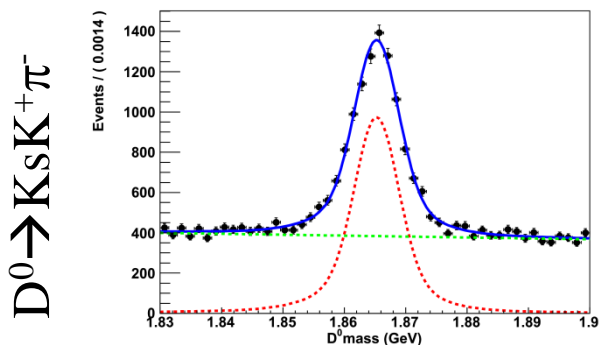
ΔM (D^* mass - D^0 mass)



of events / 141 fb⁻¹
 with D^0 mass & ΔM 2 σ
 cut.

~9,300 events

Purity : > 90%



~5,800 events

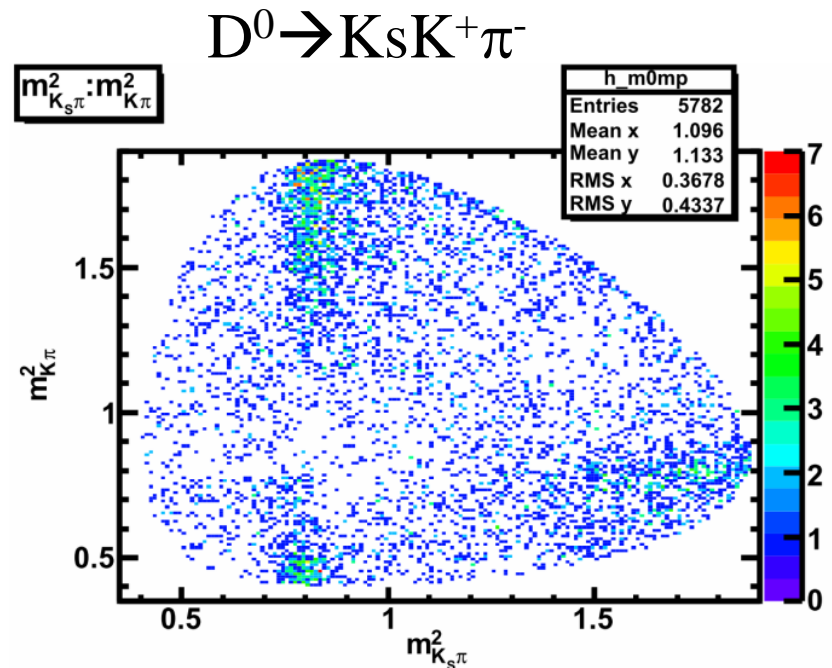
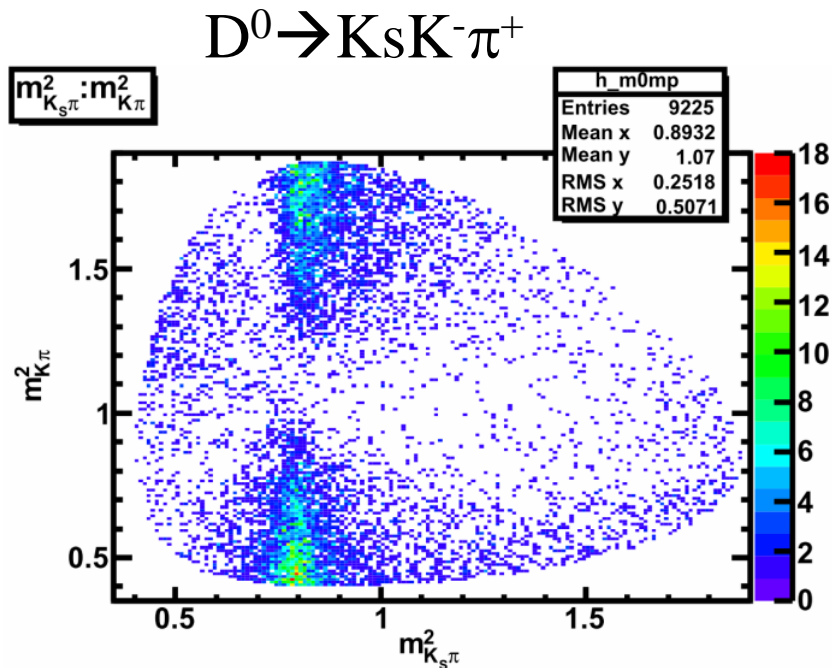
Purity : > 90%

Y(4S) の全データを用いた場合に期待されるtagged D のイベント数は

$D^0 \rightarrow K_S K^- \pi^+$: ~70,000 events

$D^0 \rightarrow K_S K^+ \pi^-$: ~44,000 events

Tagged D の Dalitz Plot



このダリッツプロットから作成したモデルを使って $B \rightarrow DK$ のダリッツプロットをフィットすることになる。

$B \rightarrow DK$ では D^0 と \bar{D}^0 は区別できないため、 $D^0 \rightarrow K_s K^- \pi^+$ と $D^0 \rightarrow \bar{K}_s K^- \pi^+$ の両方が入ってくることになる。

そのため、二つモデルを組み合わせてフィットする必要がある。

まとめ

- $B \rightarrow DK$, $D \rightarrow K_s K \pi$ 崩壊を用いた ϕ_3 の測定は未だなされていない。
- 2次元フィット(ΔE versus $LR(KSFW)$)を行い、 $B \rightarrow D\pi$, $D \rightarrow K_s K \pi$ のシグナルを得た。

$$B^- \rightarrow D\pi^-, D \rightarrow K_s K^- \pi^+ : 1,359 \pm 44(\text{stat}) \text{ events}$$

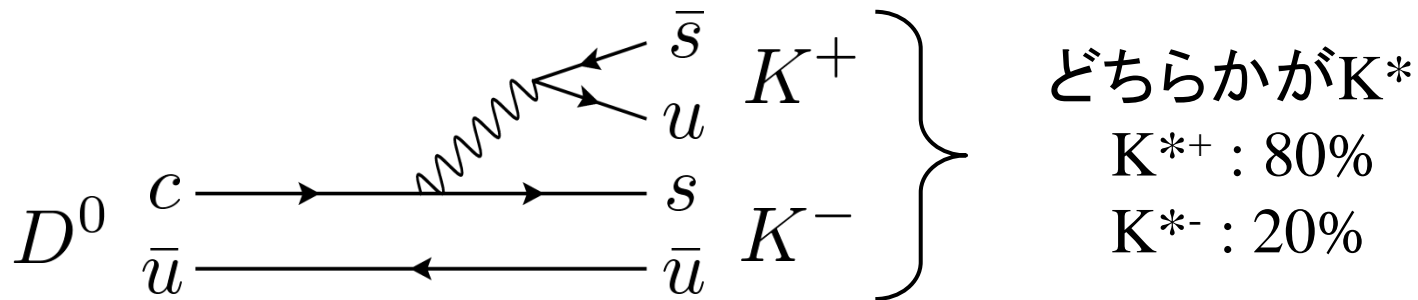
$$B^- \rightarrow D\pi^-, D \rightarrow K_s K^+ \pi^- : 946 \pm 38(\text{stat}) \text{ events}$$

(Belleの全データ(770M BB events)を使用)

- ダリッツ解析に用いられる $B^- \rightarrow DK^-$ のイベント数を見積もった。
 $B^- \rightarrow DK^-, D \rightarrow K_s K^- \pi^+ : 92 \pm 6 \text{ events}$
 $B^- \rightarrow DK^-, D \rightarrow K_s K^+ \pi^- : 64 \pm 4 \text{ events}$
- 今後は統計量の多いtagged D から $D \rightarrow K_s K \pi$ のモデルを作成する。

Back up

D → K*K崩壊



➔ $D^0(\bar{D}^0) \rightarrow K^{*+}K^-$
 $D^0(\bar{D}^0) \rightarrow K^{*-}K^+$ の2つの終状態が存在する。

Bの電荷と合わせてモードを判別する。

$$B^{\oplus} \rightarrow [K^{*\oplus} K^{\pm}]_D K^{\pm} \quad \text{Opposite mode}$$

$$B^{\oplus} \rightarrow [K^{*\oplus} K^{\mp}]_D K^{\pm} \quad \text{Same mode}$$

また、 K^* は $K^{*\pm} \rightarrow K^{\pm} \pi^0 : 1/3$
 $K^{*\pm} \rightarrow K^0 \pi^{\pm} : 2/3$ で崩壊する。

理論

B^+ , B^- の opposite mode, same mode の分岐比

$$A[B^- \rightarrow K^-(K^{*+}K^-)_D] = |A_B A_D| \left[1 + r_B r_D e^{i(\delta_B + \delta_D - \phi_3)} \right] \quad \text{Opposite mode}$$

$$A[B^- \rightarrow K^-(K^{*-}K^+)_D] = |A_B A_D| e^{i\delta_D} \left[r_D + r_B e^{i(\delta_B - \delta_D - \phi_3)} \right] \quad \text{Same mode}$$

$$A[B^+ \rightarrow K^+(K^{*-}K^+)_D] = |A_B A_D| \left[1 + r_B r_D e^{i(\delta_B + \delta_D + \phi_3)} \right] \quad \text{Opposite mode}$$

$$A[B^+ \rightarrow K^+(K^{*+}K^-)_D] = |A_B A_D| e^{i\delta_D} \left[r_D + r_B e^{i(\delta_B - \delta_D + \phi_3)} \right] \quad \text{Same mode}$$

$$r_B = \left| \frac{\bar{A}_B}{A_B} \right| = \left| \frac{A(B^- \rightarrow \bar{D}^0 K^-)}{A(B^- \rightarrow D^0 K^-)} \right|, \quad r_D = \left| \frac{\bar{A}_D}{A_D} \right| = \left| \frac{A(\bar{D}^0 \rightarrow K^{*+} K^-)}{A(D^0 \rightarrow K^{*+} K^-)} \right|$$

r_D は他の測定で精度よく測定されている (既知数) とする。

→ 未知数は δ_D , δ_B , r_B , ϕ_3 の4つ。分岐比の4式を連立すれば解ける。

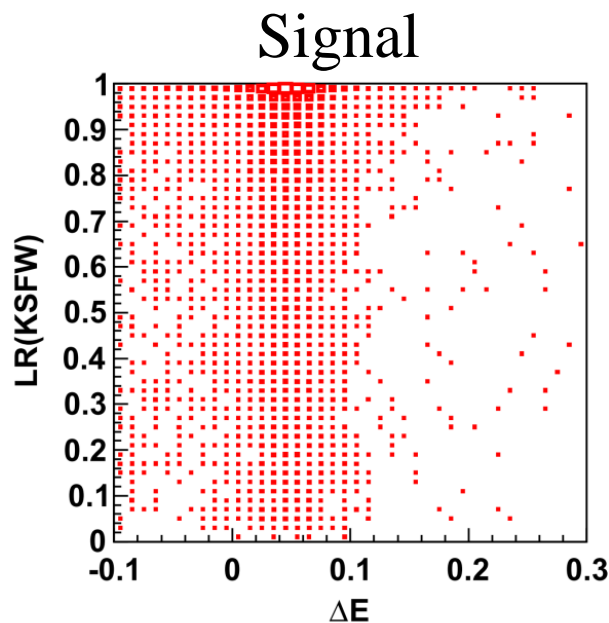
$$\cos \phi_3 = \frac{(R_1 + R_3 - 2)^2 - (R_2 + R_4 - 2r_D^2)^2}{4[(R_1 - 1)(R_3 - 1) - (R_2 - r_D^2)(R_4 - r_D^2)]}$$

$$R_1 = \left[\frac{A[B^- \rightarrow K^-(K^{*+}K^-)_D]}{A_B A_D} \right]^2, \quad R_2 = \dots$$

ΔE とKSFWの相関

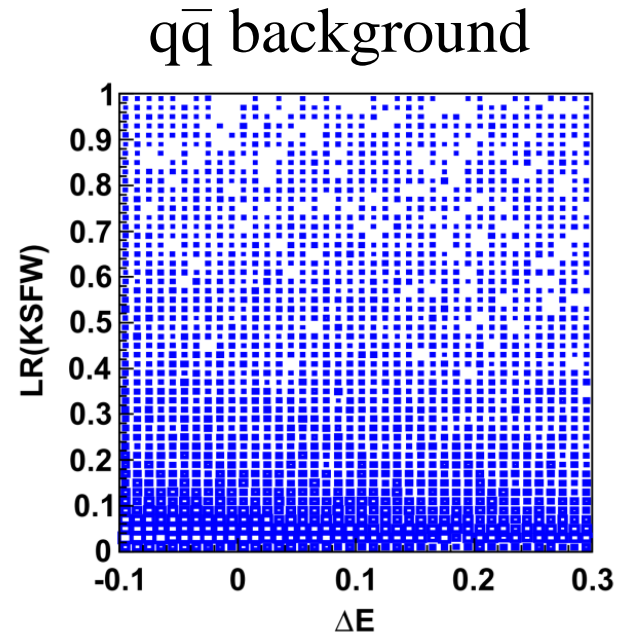
ΔE とKSFW likelihoodはほとんど相関を持たない。

そのため、2次元フィットのためのPDFは、単純に ΔE とKSFW likelihoodのPDFの積として表すことができる。



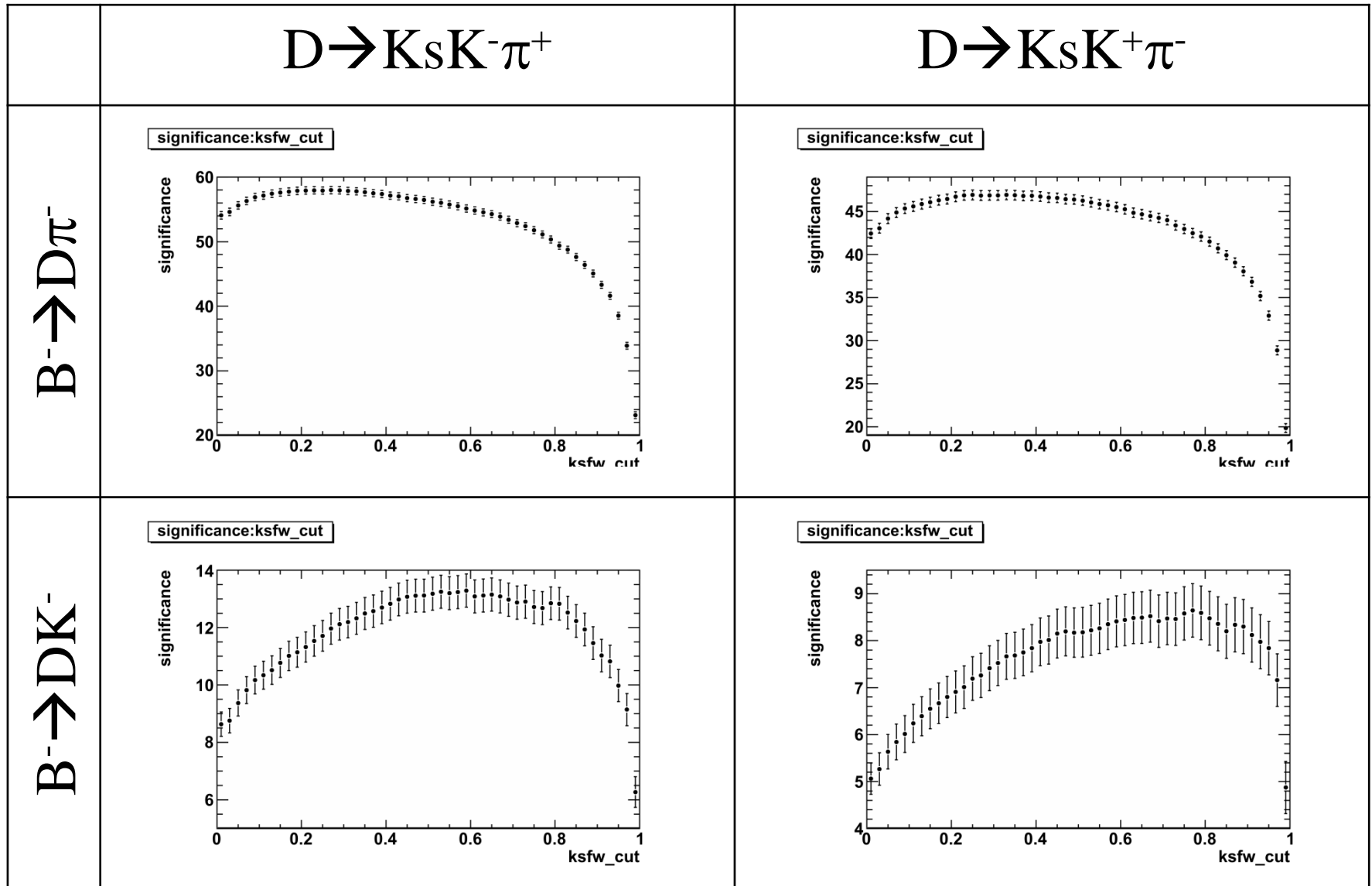
相関係数

0.0083



0.033

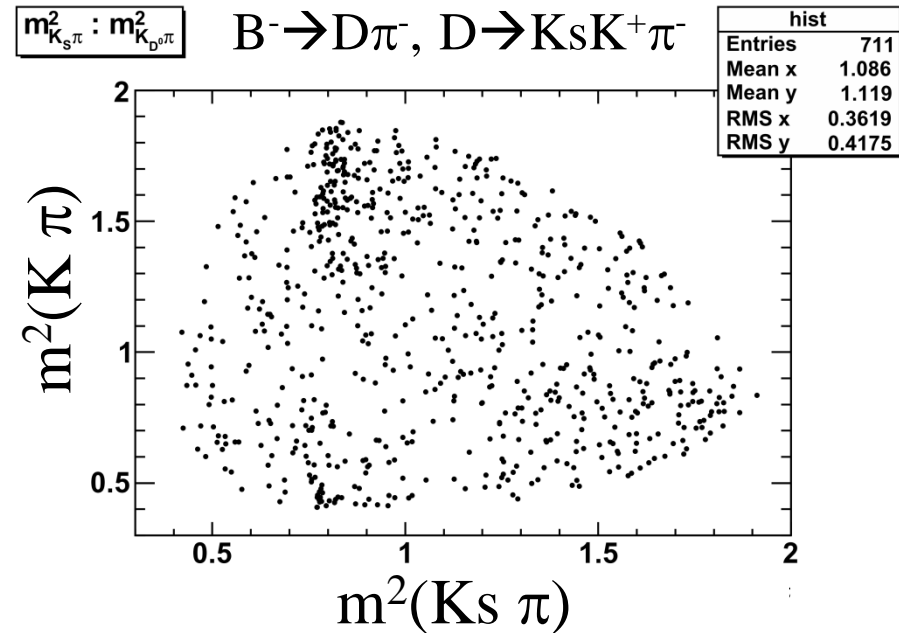
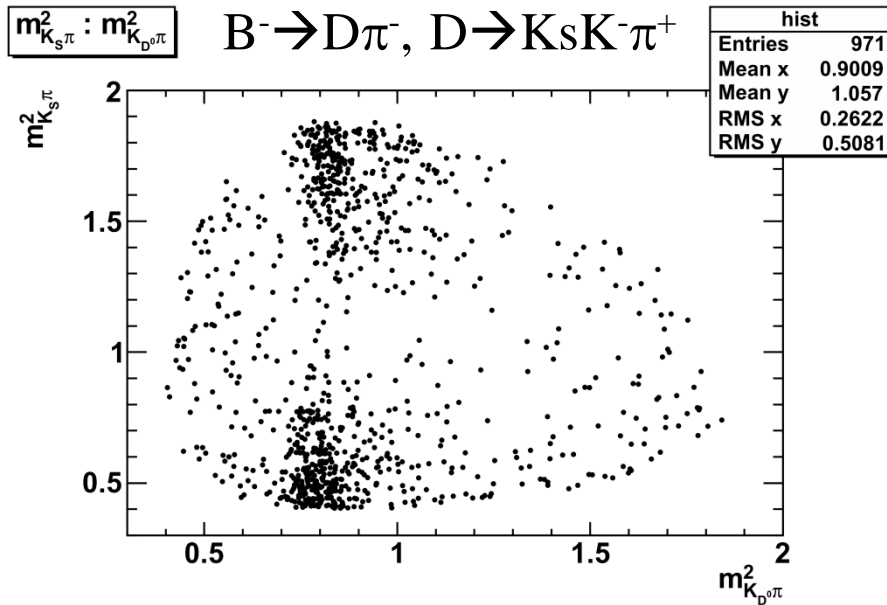
The merit of LR(KSFW)



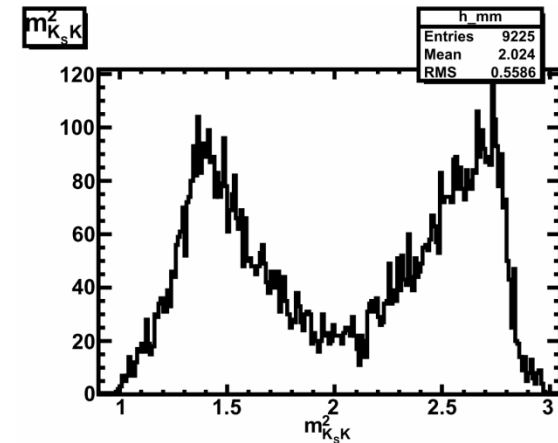
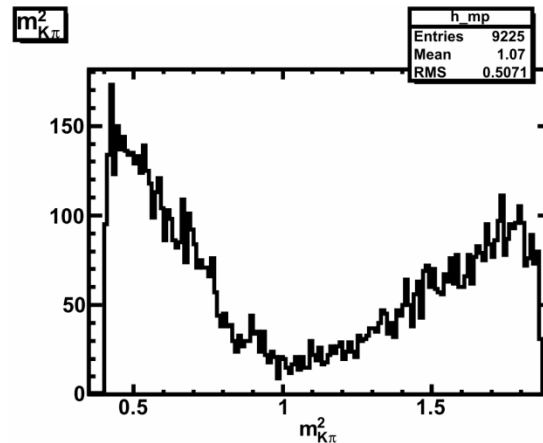
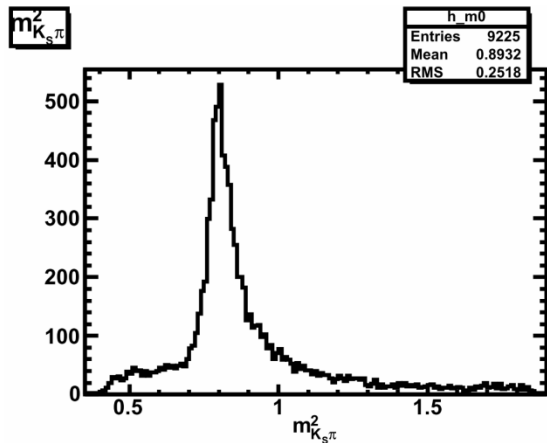
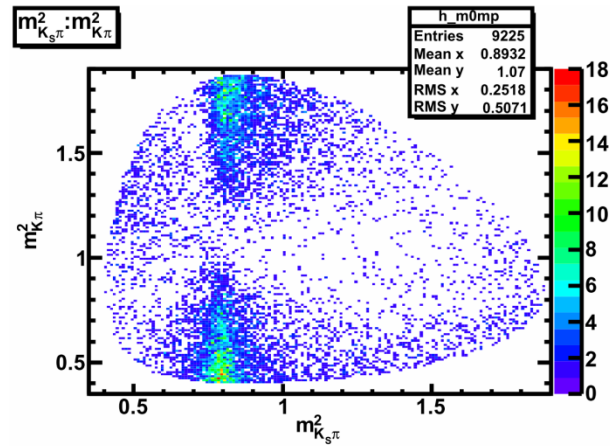
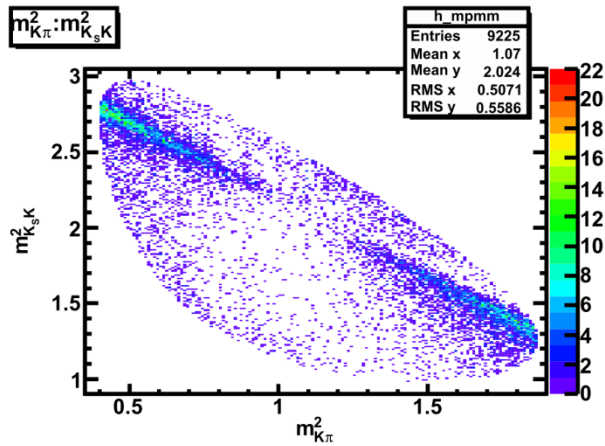
These distributions are reasonable.

Dalitz Plot

Dalitz plot (real data) with $|\Delta E| > 0.04$ GeV & $\text{LR(KSFW)} > 0.8$



$D^0 \rightarrow K_s K^- \pi^+$ の Dalitz Plot



$D^0 \rightarrow K_s K^+ \pi^-$ の Dalitz Plot

